

This airborne geophysical survey and the production of this map were funded by the Saskatchewan Ministry of Energy and Resources and the GEM-Energy Program of the Earth Sciences Sector, Natural Resources Canada.

Ce levé géophysique aéroporté et la production de cette carte ont été financés par le ministère de l'Énergie et des Ressources de la Saskatchewan et le programme GEM-Energie du Secteur des sciences de la Terre, Ressources naturelles Canada.

GSC OPEN FILE 6773 / DOSSIER PUBLIC 6773 DE LA CGC SMER OPEN FILE 2011-8

GEOPHYSICAL SERIES / SÉRIE DES CARTES GÉOPHYSIQUES

AIRBORNE GEOPHYSICAL SURVEY OF THE NORTHWESTERN ATHABASCA BASIN, SASKATCHEWAN LEVÉ GÉOPHYSIQUE AÉROPORTÉ DE LA PARTIE NORD-OUEST DU BASSIN ATHABASCA, SASKATCHEWAN

NTS 74 K/03 James Creek / SNRC 74 K/03 James Creek

NATURAL AIR ABSORBED DOSE RATE TAUX D'ABSORPTION NATUREL DES RAYONS GAMMA DANS L'AIR

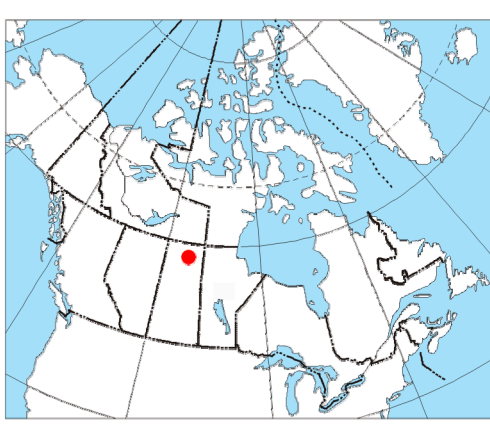
Authors: Fortin, R., Coyle, M., Buckle, J.,
Hefford, S.W. and Delaney, G.

Data acquisition, compilation and map production by Godak Airborne
Surveys, Saskatoon, Saskatchewan. Contact for project management
by the Geological Survey of Canada, Ottawa, Ontario.

Scale 1:50 000 - Échelle 1/50 000

Auteurs : Fortin, R., Coyle, M., Buckle, J.,
Hefford, S.W. et Delaney, G.

L'acquisition, la compilation et la production de la carte
des taux d'absorption naturel des rayons gamma dans l'air
ont été effectuées par Godak Airborne Surveys, Saskatoon,
Saskatchewan. La gestion et la supervision du projet furent effectuées
par la Commission géologique du Canada, Ottawa, Ontario.



NORTHWESTERN ATHABASCA BASIN GEOPHYSICAL SURVEY, SASKATCHEWAN

Introduction

A quantitative gamma-ray spectrometric and aeromagnetic airborne geophysical survey of the Northwestern Athabasca Basin, Saskatchewan, was conducted by Godak Airborne Surveys. The survey was flown from June 18 to September 21st, 2011 using Piper PA-31 Navajo aircraft (C-GJBA, C-GLDX and one Cesna Caravan (C-GLDX). The nominal traverse and control line spacings were, respectively, 400 m and 2400 m, and the aircraft flew at a nominal terrain distance of 125 m at altitudes between 200 and 270 km. Traverse lines were oriented 135° with orthogonal control lines. The flight path was recovered following flight-path differential corrections to raw data recorded by a Global Positioning System.

Gamma-ray Spectrometric Data

The airborne gamma-ray measurements were made with a Radiation Solutions RS-500 gamma-ray spectrometer using fourteen 10x10x400 mm NaI (Tl) crystals. The main detector array consisted of twelve crystals (total volume 50.4 liters), shielded by the main array, were used to detect variations in background radiation caused by atmospheric radon. The system constantly monitored the natural thorium peak for each crystal, and using a Gaussian least squares algorithm adjusted the gain for each crystal.

Potassium was measured directly from the 1460 keV gamma-ray photons emitted by K^{40} , whereas uranium and thorium were measured indirectly from gamma-ray photons emitted by daughter products (U^{238} for uranium and Th^{232} for thorium). Although these daughters sit far down their respective decay chains, they are assumed to be in equilibrium with their parents; thus gamma-ray spectrometric measurements of uranium and thorium are referred to as equivalent uranium and equivalent thorium, i.e. eU and eTh . The energy windows used for potassium, uranium and thorium are, respectively; 1370-1570 keV, 1660-1860 keV, and 2410-2810 keV. The energy windows used for thorium were corrected for spectral scattering in the ground, air and detectors. Corrections for deviations from the planned terrain clearance and for variation of temperature and pressure were made prior to conversion to ground concentrations of potassium, uranium and thorium, using factors determined from flights over the Delta, Saskatchewan. The range of the factors for potassium, uranium and thorium are listed in Table 1.

	C-GJBA	C-GLDX
Potassium (cpm%)	83.27	82.05
Uranium (cpm/ppm)	10.48	9.73
Thorium (cpm/ppm)	5.61	5.57

Table 1 Gamma Ray Spectrometer Sensitivities for each aircraft

Corrected data were linearized and interpolated to a 100 m grid interval. The results of an airborne gamma-ray spectrometer survey represent the average surface concentrations that are influenced by varying amounts of overburden, vegetation cover, soil moisture and surface water. As a result the measured concentrations are usually lower than the actual bedrock concentrations. The total air absorbed dose in nanograys per hour was produced from measured counts between 400 and 2810 keV.

Magnetic Data

The magnetic field was sampled 10 times per second using a split-beam cesium vapour magnetometer (sensitivity = 0.005 nT) rigidly mounted to the aircraft. Differences in magnetic values at the intersections of control and traverse lines were computer analyzed to obtain a mutually leveled set of flight-line magnetic data. The leveled values were then interpolated to a 100 m grid. The International Geomagnetic Reference Field (IGRF) defined at the average GPS altitude of 510 m for the year 2010.61 was then removed. Removal of the IGRF, representing the magnetic field of the Earth's core, produces a residual component related essentially to magnetizations within the Earth's crust.

The first vertical derivative of the magnetic field is the rate of change of the magnetic field in the vertical direction. Computation of the first vertical derivative removes long wavelength features of the magnetic field and significantly improves the resolution of closely spaced and superposed anomalies. A property of first vertical derivative maps is the coincidence of the zero-value contour with vertical contacts of magnetic units at high magnetic latitudes (Hoover, 1985).

LEVÉ GÉOPHYSIQUE DE LA PARTIE NORD-OUEST DU BASSIN ATHABASCA, SASKATCHEWAN

Introduction

Un levé géophysique aéroporté combinant l'acquisition de données de spectrométrie gamma et de données magnétiques a été réalisé dans la partie nord-ouest du bassin de l'Athabasca en Saskatchewan par la société Godak Airborne Surveys. Le levé a été effectué du 24 juillet au 21 septembre 2011, à bord de deux avions Piper PA-31 Navajo (C-GJBA, C-GLDX) et d'un Cesna Caravan (C-GLDX). L'espace nominal des lignes de vol était de 400 m et celles des lignes de contrôle de 2400 m. L'altitude nominale de l'avion était de 125 m au-dessus du sol. Les distances entre les lignes de contrôle étaient de 200 km et celles entre les lignes de traversie étaient de 250 km. Les lignes de vol étaient toutes perpendiculaires. La trajectoire de vol a été restituée par l'application après le levé de une correction de différences d'altitudes entre les données brutes enregistrées avec un récepteur GPS.

Données de spectrométrie gamma

Les mesures du rayonnement gamma ont été effectuées à l'aide d'un spectromètre gamma Radiation Solutions RS-500 utilisant quatre cristaux de NaI (Tl) de 10x10x400 mm. Le système principal est composé d'un ensemble de cristaux (volume total de 50.4 litres). Deux cristaux (volume total de 5.4 litres), protégés par le réseau principal, ont été utilisés pour déceler les variations du rayonnement causées par le radon atmosphérique. Le dispositif permet de faire un suivi constant des pics du thorium pour chacun des cristaux, et au moyen d'un algorithme d'estimation basé sur la méthode des moindres carrés, de compenser le jeu pour chacun des cristaux.

Le potassium est mesuré directement à partir des photons gamma de 1460 keV émis par le K^{40} , tandis que l'uranium et le thorium sont mesurés à partir des produits de désintégration (U^{238} pour l'uranium et Th^{232} pour le thorium). Bien que ces radionucléides soient dans la même famille, leur période de désintégration est très différente. Les plages d'énergie utilisées pour mesurer le potassium, l'uranium et le thorium sont respectivement de 1370 à 1570 keV, de 1660 à 1860 keV et de 2410 à 2810 keV. Le débit total de la dose absorbée par l'air, en nanograys à l'heure, a été déterminé d'après les coupes mesurées dans la plage de 400 à 2810 keV.

Les spectres de rayonnement gamma ont été enregistrés à intervalles d'une seconde. Le traitement des données a suivi les procédures standards décrites dans IAEA, 1991 et IAEA, 2003. Pendant le traitement, les spectres ont été soustraits des coupes moyennes et des produits de désintégration pour obtenir des données nettes de rayonnement gamma. Ces données nettes sont ensuite traitées pour éliminer les erreurs de fond instrument, le rayonnement cosmique, de la radioactivité de l'avion et des produits de désintégration du radon atmosphérique. Les données nettes sont ensuite corrigées pour tenir compte de la diffusion de la spectrométrie dans le sol, l'air et les capteurs. Les corrections pour les effets de l'atmosphère sont effectuées en utilisant les facteurs déterminés au-dessus de la bande d'altimétrage de Daniellie, Saskatchewan. Les facteurs pour le potassium, l'uranium et le thorium sont présentés dans le Tableau 1. Pour la mise en œuvre, un filtre a été appliqué aux données corrigées, qui ont ensuite été interpolées suivant une grille à mètres de 100 m.

	C-GJBA	C-GLDX
Potassium (cpm%)	83.27	82.05
Uranium (cpm/ppm)	10.48	9.73
Thorium (cpm/pmm)	5.61	5.57

Tableau 1. Sensibilités des spectromètres de chaque avion.

Les résultats d'un levé aéroporté de spectrométrie gamma représentent les concentrations moyennes à la surface. Celles-ci sont influencées par les études variables des affleurements, des morts-terrasse, de la couverture végétale et de l'eau de surface. Par conséquent, les concentrations mesurées sont habituellement plus faibles que les concentrations réelles dans le substratum rocheux.

Données sur le champ magnétique

Le champ magnétique a été échantillonné 10 fois par seconde à l'aide d'un magnétomètre à vapeur de cézium purifié par chauffage (sensibilité = 0.005 nT) rigidement fixé à l'avion. Les différences de valeur du champ magnétique aux intersections des lignes de contrôle et des lignes de levé ont été analysées afin d'obtenir un ensemble de données sur le champ magnétique moyen entre les intersections des lignes de vol. Ces données ont ensuite été interpolées suivant une grille à mètres de 100 m. Le champ magnétique international (IGRF) défini au niveau de l'International Geomagnetic Reference Field (IGRF) défini au niveau de l'IGRF, qui représente le champ magnétique du royaume terrestre, fournit une composante résiduelle essentiellement reliée à la magnetisation de l'écoulement terrestre.

La dérivée première verticale du champ magnétique représente le taux auquel varie le champ magnétique suivant la verticale. Le calcul de la dérivée première verticale suppose les composantes de grande longueur d'onde du champ magnétique et améliore considérablement la résolution des anomalies rapprochées les unes des autres ou superposées. L'une des propriétés des cartes de la dérivée première verticale est la coïncidence de l'isogamme de valeur zéro et des contacts verticaux aux hautes latitudes magnétiques (Hoover, 1965).

References / Références

Hood, P.J. 1965. Gradient measurements in aeromagnetic surveying. Geophysics, p. 891-902.

International Atomic Energy Agency, 1991. Airborne gamma ray spectrometer surveying. Technical Reports Series 323, IAEA, Vienna.

International Atomic Energy Agency, 2003. Guide lines for radioelement mapping using gamma ray spectrometry data. Technical Reports Series 1363, IAEA, Vienna.

PLANIMETRIC SYMBOLS

Drainage	
Highway	
Flight line	

SYMBOLES PLANIMÉTRIQUES

Drainage	
Highway	
Flight line	

MAP SHEET SUMMARY / SOMMAIRE DES FEUILLES

Sheet Feuille

MAP / CARTE

1. Taux d'absorption naturel des rayons gamma dans l'air

2. Potassium

3. Uranium

4. Thorium

5. Uranium / Thorium

6. Uranium / Potassium

7. Thorium / Potassium

8. Ternary Radionuclide Map

9. Individual Total Radionuclides

10. Concentration totale du champ magnétique total

11. Dérivée première verticale du champ magnétique

12. Isogamme de la densité de radon

13. Isogamme de la densité de radon dans l'air

14. Isogamme de la densité de radon dans l'eau

15. Isogamme de la densité de radon dans le sol

16. Isogamme de la densité de radon dans l'air et dans l'eau

17. Isogamme de la densité de radon dans l'air et dans le sol

18. Isogamme de la densité de radon dans l'eau et dans le sol

19. Isogamme de la densité de radon dans l'air, l'eau et le sol

20. Isogamme de la densité de radon dans l'air et dans l'eau et dans le sol

2